

V-125 軸力と曲げを受ける鉄筋コンクリート部材の強度と変形

早稲田大学理工学部 正員 神山 一
学生員〇川口直能

1. 要旨

この報告は軸方向圧縮力または引張力と曲げモーメントとを受ける鉄筋コンクリート部材の強度と変形能力について検討したものである。軸方向圧縮力と曲げを受ける部材については重合の法則を適用し、軸方向引張力と曲げを受ける部材については降伏強度は重合の法則を、また破壊強度は重合の法則による計算式とフリ合、条件をモデル化して求めた計算式とを適用した。

2. 降伏強度：引張鉄筋の降伏を部材の降伏と定義し、重合の法則を用いて降伏強度を求める。

1) 軸圧縮と曲げ

$$\begin{aligned} N_{sy}/bd\phi_{co} &= C_f \cdot f_{sy} - p\beta_y, \quad \phi_{sy} \cdot d = E_{sy}/(1-f_{sy}) \\ f_{sy} &= [C_f(1-\alpha) + \sqrt{(C_f(\alpha-1))^2 + 4\alpha p\beta_y(C_f-C_m)}]/2(C_f-C_m) \end{aligned} \quad (1)$$

2) 軸引張と曲げ

$$\begin{aligned} N_{sy}/bd\phi_{co} &= p\beta_y - C_f \cdot f_{sy}, \quad \phi_{sy} \cdot d = E_{sy}/(1-f_{sy}) \\ f_{sy} &= [C_f(\alpha+1) - \sqrt{(C_f(\alpha+1))^2 - 4\alpha p\beta_y(C_f-C_m)}]/2(C_f-C_m) \end{aligned} \quad (2)$$

降伏時の軸力と引張鉄筋回心軸に関するモーメントとの関係の一例を図-1に示した。

3. 破壊強度：コンクリートの圧縮破壊と部材の破壊と定義する。

1) 軸圧縮と曲げ

i) 中立軸位置が断面内の場合

$$\begin{aligned} N_{cu}/bd\phi_{co} &= C_{fu} \cdot f_{cu} - p\beta, \quad \phi_{cu} \cdot d = E_{cu}/f_{cu} \\ f_{cu} &= [C_{fu}(1-\alpha) + \sqrt{(C_{fu}(\alpha-1))^2 - 4\alpha p\beta(C_{fu}-C_{mu})}]/2(C_{fu}-C_{mu}) \end{aligned} \quad (3)$$

ここで $p\beta = p \cdot (\sigma_s/\sigma_{co})$, $\varepsilon_s \leq \varepsilon_{sy} \rightarrow \sigma_s = \varepsilon_s E_s$, $\varepsilon_{sy} \leq \varepsilon_s \leq \varepsilon_{sh} \rightarrow \sigma_s = \sigma_{sy}$, $\varepsilon_{sh} \leq \varepsilon_s \leq \varepsilon_{smax} \rightarrow \sigma_s = \sigma_{sy}(1 + A \log_e \varepsilon_s / \varepsilon_{sh})$

ii) 中立軸位置が断面外の場合

$$\begin{aligned} N_{cu}/bd\phi_{co} &= C_{fu} \cdot f_{cu} - C_{fc1} \cdot (f_{cu} - f_{c2}) + p\beta, \quad \phi_{cu} \cdot d = E_{cu}/f_{cu} \\ f_{cu} &= [2C_{mu} - C_{fc1} - (\alpha-1)(C_{fu} - C_{fc1}) + \sqrt{[(\alpha-1)(C_{fu} - C_{fc1}) - (2C_{mu} - C_{fc1})]^2 - 4\alpha p\beta [(C_{fu} - C_{mu}) - (C_{fc1} - C_{mu})]}]/2\{(C_{fu} - C_{mu}) - (C_{fc1} - C_{mu})\} \end{aligned} \quad (4)$$

ここで $p\beta = p \cdot (\sigma_s/\sigma_{co})$, $\varepsilon_s \leq \varepsilon_{sy} \rightarrow \sigma_s = \varepsilon_s E_s$, $\varepsilon_{sy} \leq \varepsilon_s \leq \varepsilon_{sh} \rightarrow \sigma_s = \sigma_{sy}$

2) 軸引張と曲げ i) 重合の法則

$$\begin{aligned} N_{cu}/bd\phi_{co} &= p\beta - C_{fu} \cdot f_{cu}, \quad \phi_{cu} \cdot d = E_{cu}/f_{cu} \\ f_{cu} &= [C_{fu}(\alpha+1) - \sqrt{(C_{fu}(\alpha+1))^2 - 4\alpha p\beta(C_{fu}-C_{mu})}]/2(C_{fu}-C_{mu}) \end{aligned} \quad (5)$$

ここで $p\beta = p \cdot (\sigma_s/\sigma_{co})$, $\varepsilon_s \leq \varepsilon_{sy} \rightarrow \sigma_s = \varepsilon_s E_s$, $\varepsilon_{sy} \leq \varepsilon_s \leq \varepsilon_{sh} \rightarrow \sigma_s = \sigma_{sy}$, $\varepsilon_{sh} \leq \varepsilon_s \leq \varepsilon_{smax} \rightarrow \sigma_s = \sigma_{sy}(1 + A \log_e \varepsilon_s / \varepsilon_{sh})$

ii) フリ合、条件をモデル化した計算式 (1)

$$\begin{aligned} N_{cu}/bd\phi_{co} &= N_{sy}/bd\phi_{co} + \Delta N/bd\phi_{co}, \quad \phi_{cu} \cdot d = 2E_{cu}/f_c, \\ \Delta N/bd\phi_{co} &= \gamma_2 f_c (1 - f_c/2)/4\alpha, \quad f_c = 2\{(4\alpha+3) - \sqrt{(4\alpha+3)^2 - 9(\alpha+1)}\}/3, \quad \gamma_2 = \gamma_b/\phi_{co} \end{aligned} \quad (6)$$

ここでは(5)または(6)式によって得られる強度のいずれか小さい方を破壊強度とした。また破壊時の軸力と引張鉄筋回心軸に関するモーメントとの関係の一例を図-2に示した。

4. 变形能力

部材の变形能力についてはコンクリートの圧縮破壊時と引張鉄筋の降伏時との曲率の差によって検討した。図-3～5に变形能力と力学的鉄筋比または偏心量との関係の一例を示した。

5. 結び

1) 軸方向引張力と曲げを受ける部材

偏心量一定($\alpha = 1.5$)で鉄筋量を $p = 0.008 \sim 0.05$, 鉄筋量一定($p = 0.0165$)で偏心量と $\alpha = 1.5 \sim 6.5$ まで各々 5 段階に変化させて行なった実験結果^{(1),(3)}は重合の法則による計算値と比較的良く一致し、降伏強度、变形能力はそれぞれ計算値の 0.66 ~ 1.04, 1.00 ~ 1.27, 1.05 ~ 1.46 の範囲であった。つまり条件をモデル化した式による計算値は破壊強度では 1.01 ~ 1.29, 变形能力では 2.06 ~ 3.00 となり、变形能力において実験値と良く一致しなかった。以上の実験結果と計算結果をもとに以下のことを結論とする。

i) 降伏強度までは重合の法則が適用できる。

ii) 破壊強度は重合の法則による計算式と軸方向ひびわれ発生後のフリ合、条件をモデル化して求めた計算式とを適用する。ただしモデル化した式の適用範囲はおおむね $p\beta_y \geq 0.4$ かつ $0.04 \leq \alpha \leq 0.40$ の範囲に限られる。なおこの範囲では強度は重合の法則を用いた強度に比べて約 10% 低下し、变形能力は約 60% 減少する。

2) 軸方向圧縮力と曲げを受ける部材

重合の法則が成立つと仮定すれば次の結果が得られる。

i) 強度は従来の軸力と曲げとの相関図と同じ傾向を得るが、このときの变形能力はおおむね $p\beta_y \geq 0.2$ の範囲で急激に減少する。(図-3)

ii) また曲げのみが作用するときに比べて、フリ合、鉄筋比は減少し、従来用いられている鉄筋量の範囲でも降伏と同時に破壊が起こる可能性がある。

図-1 降伏強度

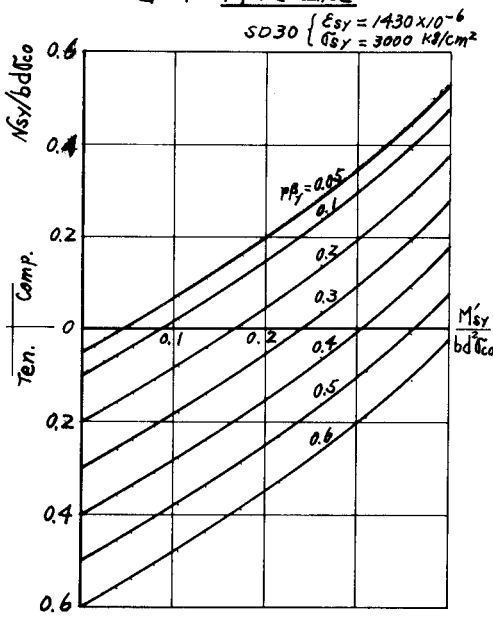


図-2 破壊強度

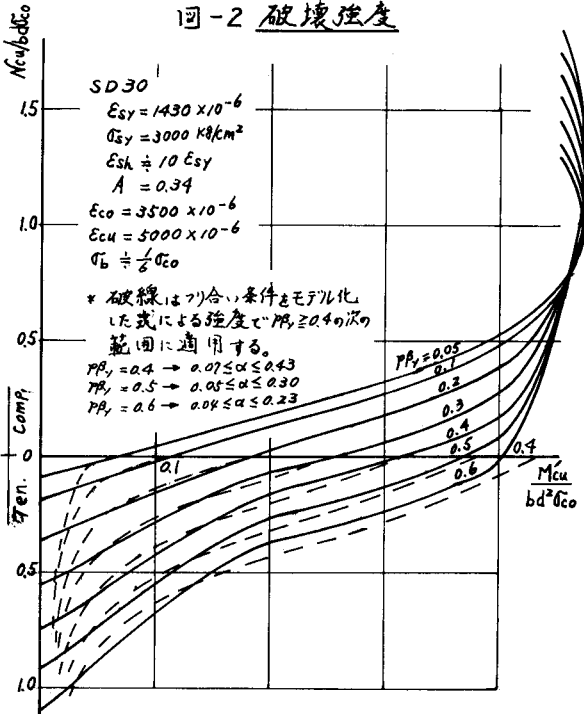


図-3 $(\phi_{cu} - \phi_{sy})d - \alpha$

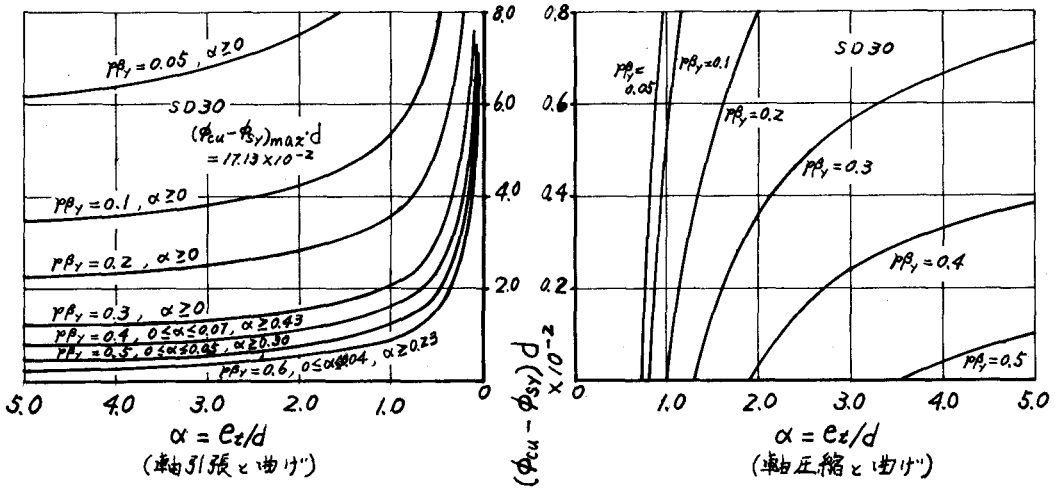


図-4 $(\phi_{cu} - \phi_{sy})d - p_{\beta_y}$

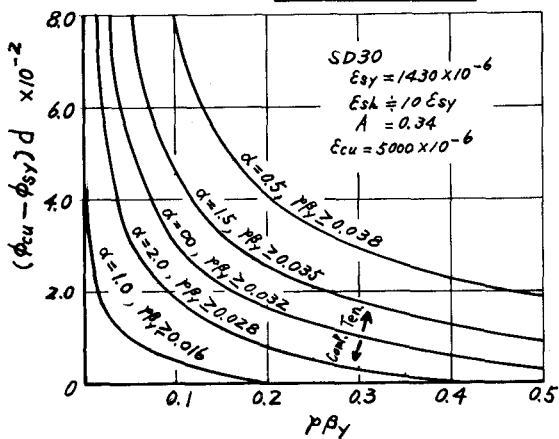
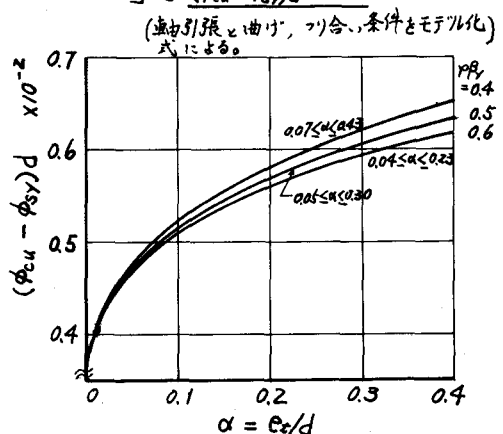


図-5 $(\phi_{cu} - \phi_{sy})d - \alpha$



記号) N_{sy}, N_{cu} : それぞれ引張鉄筋が降伏するときとコンクリートが圧縮破壊するときの軸力, M' : 引張鉄筋回心軸に関するモーメント, ϕ_{sy}, ϕ_{cu} : それぞれ引張鉄筋が降伏するときとコンクリートが圧縮破壊するときの中立軸係数, ρ_s : 軸方向ひびわれ発生後の中立軸係数, p_{sy}, p_{cu} : それぞれ引張鉄筋が降伏するときとコンクリートが圧縮破壊するときの曲率, σ_s : 鉄筋の応力, σ_{sy} : 鉄筋の降伏点応力, σ_{co} : コンクリートの最大圧縮応力, G_b, G_{cu} : それぞれコンクリートの曲げ引張強度×引張強度, E_s : 鉄筋のひずみ度, E_{sy} : 鉄筋の降伏点ひずみ度, E_{sh} : 鉄筋のひずみ硬化点ひずみ度, E_c : コンクリートの圧縮ひずみ度, E_{co} : E_c に対するひずみ度, E_{cu} : コンクリートの最大圧縮ひずみ度, E_{zu} : コンクリートの最大曲げ引張ひずみ度, C_f : コンクリートの圧縮力に関する係数 $E_c = E_{c1} \rightarrow C_f = C_{f1}$, $E_c = E_{cu} \rightarrow C_f = C_{fu}$, C_m : 中立軸に関するコンクリートのモーメント係数 $E_c = E_{c1} \rightarrow C_m = C_{m1}$, $E_c = E_{cu} \rightarrow C_m = C_{mu}$, e_z : 引張鉄筋回心から軸力作用点までの距離, b : 断面の幅, d : 有効高さ, h : 断面の高さ $h = h_d$, A_s : 鉄筋の断面積, $\alpha = e_z/d$, $P = A_s/bd$, $\beta_y = \sigma_{co}/\sigma_{sy}$, $\sigma_c = \sigma_{co} \cdot (E_c/E_{co}) \cdot e^{-E_c/E_{co}}$

関連文献) 神山, 11回: 1) 土木学会年次講演概要集 S47, 48, 49年, 2) 橋梁構造工学研究発表会 S.47年, 3) セメント技術年報 S.48年